

ЭФФЕКТЫ НАПРАВЛЕННОЙ ПЕРКОЛЯЦИИ В ЭКОЛОГИЧЕСКИХ СИСТЕМАХ СО СЛУЧАЙНЫМ РАЗМНОЖЕНИЕМ И РАСПАДОМ

© 2005 Д.И. Иудин

Нижегородский государственный университет

Рассматривается математическое описание направленной перколяции (фильтрования) в процессе заселения территории.

Вписанные в природную среду объекты техногенеза, а таковыми, в частности, являются и промышленно-транспортные комплексы, с физической точки зрения, представляют собой сильно неравновесные открытые системы потокового типа. Потоки энергии и вещества, проходящие через эти системы, обеспечивают возникновение в них эффектов самоорганизации – образования макроскопических диссипативных структур [1]. В последнее время в области интересов физики оказывается все большее число нелинейных распределенных сред, структурообразование в которых демонстрирует в широком диапазоне параметров и масштабов пространственно-временной скейлинг – один из фундаментальных видов симметрии физического мира, играющих формообразующую роль во Вселенной [2]. Пространственно-временной скейлинг характеризуется сильными, спадающими по степенному закону, корреляциями, которые типичны для критических явлений. Критический режим в процессах самоорганизации оказывается самосогласованным и самонастраивающимся, причем динамика критических флуктуации непосредственно связана с появлением фракталов в конфигурационном пространстве нелинейных распределенных систем при кинетических переходах. Исследования явлений такого рода были объединены недавно общим названием самоорганизованной критичностью (self-organized criticality) [3] и позиционирующим скейлинговый аспект самоорганизации как ярчайшую интригу современной физической парадигмы, вызывающую колоссальный интерес [4].

Яркими примерами критической динамики в потоковых системах являются взрывная неус-

тойчивость и кинетический переход типа “заселения среды” в неравновесных системах с размножением, распадом и диффузией. Порог взрывной неустойчивости определяется конкуренцией между процессами размножения и распада.

Если скорости размножения или распада флуктуируют, а размножающееся вещество способно к диффузии, расчет порога взрывной неустойчивости становится сложной проблемой, близкой к кругу вопросов теории неупорядоченных сред и перколяционной теории. Анализ перколирующих систем как геометрического образа самосогласованной критической динамики представляется здесь особенно актуальным. Дело в том, во-первых, что подобно диссипативным структурам, перколяционные структуры также оказываются результатом фазовых превращений. Во-вторых, геометрические параметры перколяционных кластеров вблизи порога слабо зависят от деталей мелкомасштабного устройства, что делает перколяцию чрезвычайно привлекательной в прикладном аспекте.

Итак, сосредоточенная система со случайным размножением и распадом описывается стохастическим дифференциальным уравнением

$$\dot{n} = -\alpha n + f(t)n, \quad (1)$$

в котором α – постоянная скорость распада, а $f(t)$ – случайно меняющаяся во времени скорость размножения с заданными статистическими характеристиками. Говорят, что для системы (1) превышен порог взрывной неустойчивости если средняя по ансамблю реализаций плотность вещества $\langle n(t) \rangle$ неограниченно возрастает со временем [5-12].

Добавление в уравнение (1) диффузионного члена обобщает модель на случай распределенных систем, в которых возможны процессы распада, размножения и диффузии

некоторого вещества. Предполагается, что скорость распада однородна в пространстве и во времени, а размножение происходит лишь внутри определенных центров размножения, которые случайно возникают во времени в случайных точках среды, но имеют одинаковую форму, интенсивность и продолжительность жизни. Соответствующей математической моделью является уравнение [5]:

$$n = -\alpha n + f(r, t)n + D\Delta n, \quad (2)$$

где n – плотность вещества, D – коэффициент его диффузии. Флуктуирующее поле $f(r, t)$ задается суммой расположенных в случайных точках (r_i, t_i) одинаковых импульсов $\Theta(r, t)$:

$$f(r, t) = \sum_i \Theta(r - r_i; t - t_i). \quad (3)$$

Среднее число импульсов, приходящих в единицу времени на единицу объема, постоянно и равно ξ . Функция $\Theta(r, t)$ имеет вид

$$\Theta(r, t) = J\Omega(r)\Psi(t), \quad (4)$$

где J – характеризует интенсивность центра размножения, $\Omega(r) = 1$ при $r \leq r_0$ и $\Omega(r) = 0$ при $r > r_0$ и $\Psi(t) = 1$ при $0 < t < \tau_0$ и $\Psi(t) = 0$ при $t < 0$ и $t > \tau_0$, так что r_0 и τ_0 дают, соответственно, характерный пространственный размер отдельного центра и время его жизни.

Существенным параметром задачи является безразмерная пространственно-временная концентрация центров размножения \mathcal{E} , определяемая как

$$\mathcal{E} = \xi r_0^d \tau_0, \quad (5)$$

где d – размерность среды. Когда параметр \mathcal{E} мал, $\mathcal{E} \ll 1$, различные центры размножения действуют независимо друг от друга и расчет порога взрывной неустойчивости осуществляется в рамках стандартного анализа в приближении среднего поля [5]. По мере роста \mathcal{E} различные центры размножения начинают перекрываться в пространственно-временном континууме и их взаимное влияние становится существенным: последующие центры начинают действовать на фоне пятен населенности оставленных предыдущими центрами. Появляются пространственно-временные цепочки центров размножения – кластеры размножающегося вещества эволюционирующие на фоне практически нулевой населенности. Пространственно-временные масштабы этих кластеров расходятся при стремлении параметра \mathcal{E} к некоторому критическому значению, соответствующему

порогу направленной перколяции. Характерная критическая динамика модельной системы в одномерном случае представлена на рис. 1, где ось времени направлена вертикально вверх. При численном моделировании уравнения (2) в одномерном случае оно было дополнено слабой постоянной накачкой, поддерживающей населенность на уровне шума и нелинейным диссипативным членом, обеспечивающим механизм запорного ограничения роста населенности:

$$\dot{n} = e - \alpha n + f(r, t)n + D\Delta n - \beta n^2. \quad (6)$$

При численном исследовании уравнения (2) в двумерном случае рассматривалась ситуация, когда центры размножения являются короткоживущими, т.е. $\tau_0 \ll \tau_0^2/D$. В этом случае центры размножения можно считать слабыми при выполнении условия $J \ll J^*$, где $J^* = \tau_0^{-1}$ для $d = 1, 2, 3$ [9-12]. При расчете порога взрывной неустойчивости в случае центров слабой интенсивности можно воспользоваться, в качестве первого приближения, условием равенства средней по объему скорости размножения f и скорости распада α . Поскольку средняя скорость размножения есть

$$f = \xi \int \Theta(r, t) dr dt = \mathcal{E} J, \quad (7)$$

где в двумерном случае $\mathcal{E} = \xi \pi r_0^2 \tau_0$, этот способ дает следующее значение безразмерной критической концентрации центров размножения:

$$\mathcal{E}_{cr}^{(0)} = \alpha / J. \quad (8)$$

Выражение (8) не учитывает корреляционных эффектов и, поэтому, далеко не всегда может служить разумным первым приближением

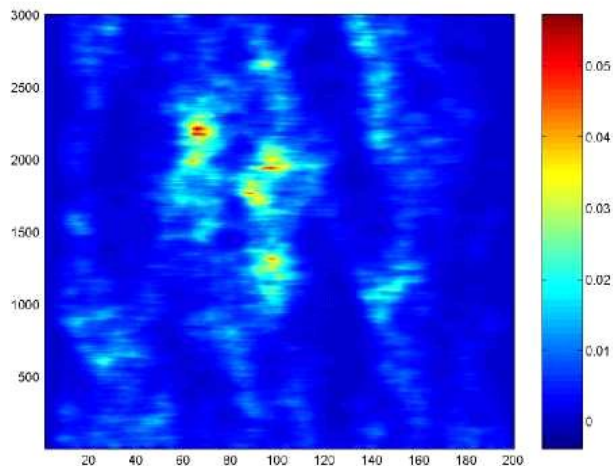


Рис. 1. Одномерная динамика, ось времени направлена вертикально вверх, цвет отображает уровень населенности

к истинной величине порога взрывной неустойчивости. Корреляционные статистические эффекты понижают порог взрыва, причем это понижение может оказаться весьма существенным.

Компьютерное моделирование позволяет найти истинную величину порога ξ_{cr} при фиксированной амплитуде импульса размножения J и сравнить ее со среднеполевым значением (8). На рис. 2 представлена зависимость эффективности флуктуационного понижения порога взрывной неустойчивости $\xi_{cr}^{(0)} / \xi_{cr} = [\alpha/J] / \xi_{cr}$ от самой истинной величины порога ξ_{cr} . При этом обращает на себя внимание хорошо воспроизводимый максимум эффективности при значении $\xi_{cr} \approx 0,474$, соответствующем порогу направленной перколяции. С ростом амплитуды J эффективность флуктуационного понижения порога взрывной неустойчивости растет.

Рис. 3 воспроизводит эволюцию средней населенности для дискретного аналога уравнения (6) на квадратной решетке. Соответствующая динамика населенности в одной отдельно взятой ячейке решетки показана на рис. 4.

Характерный вид пространственного распределения населенности в некоторый фиксированный момент времени представлен на рис. 5. Заметим, что среднее по пространству и времени значение параметра активности составляет величину $\langle f(r, t) \rangle \approx 0,08$, которая значительно уступает коэффициенту линейной диссипации.

Динамика системы со случайным раз-

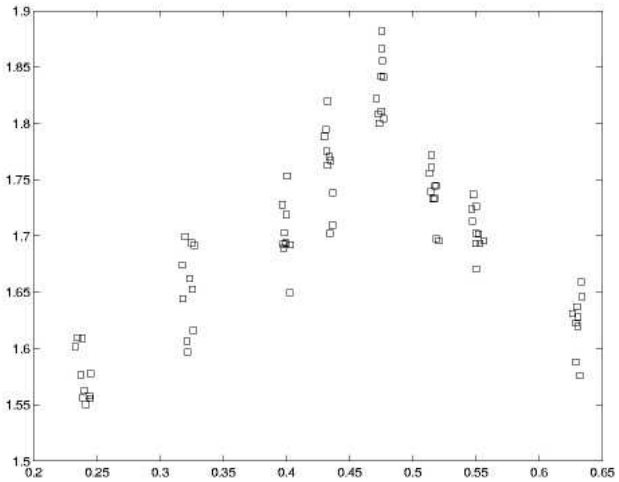


Рис. 2. Зависимость эффективности флуктуационного понижения порога взрывной неустойчивости $\xi_{cr}^{(0)} / \xi_{cr} = [\alpha/J] / \xi_{cr}$ от истинной величины порога ξ_{cr} при фиксированной амплитуде импульса размножения J

множением и распадом, эволюционирующей вблизи порога направленной перколяции, обнаружила очень интересную зависимость от размеров системы.

Введем параметр \tilde{U} , характеризующий пространственную локализацию размножающегося вещества и равный отношению максимальной на решетке и усредненной по времени населенности к населенности усредненной и по времени и по узлам решетки $\tilde{U} = \max(n) / \{n\}$. Рис. 6 демонстрирует зависимость введенного параметра локализации \tilde{U} от скорости распада α при различных значениях линейного масштаба модельной решетки L . Очевидный эффект роста простран-

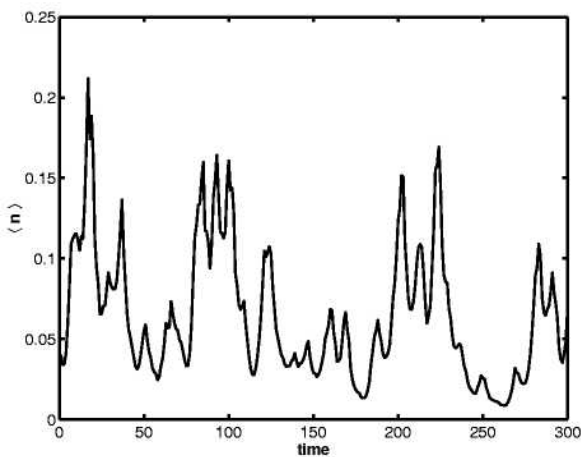


Рис. 3. Эволюция средней населенности на квадратной решетке 70×70 при $r_0 = 9$; $\tau_0 = 5$; $J = \alpha = 0,3$; $\beta = 5 \cdot 10^{-2}$; $e = 3 \cdot 10^{-3}$ и $D = 10^{-2}$

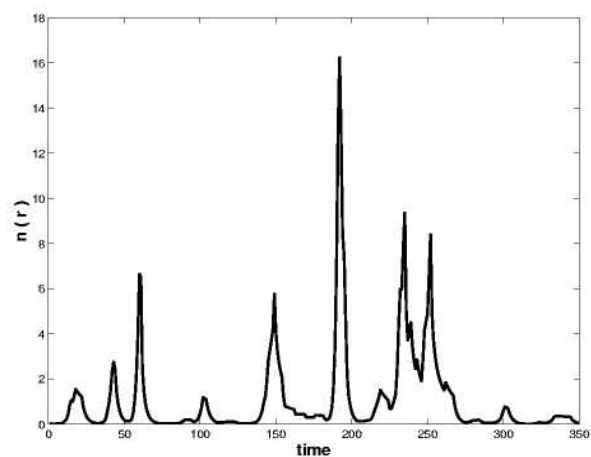


Рис. 4. Динамика населенности в одной отдельно взятой ячейке решетки

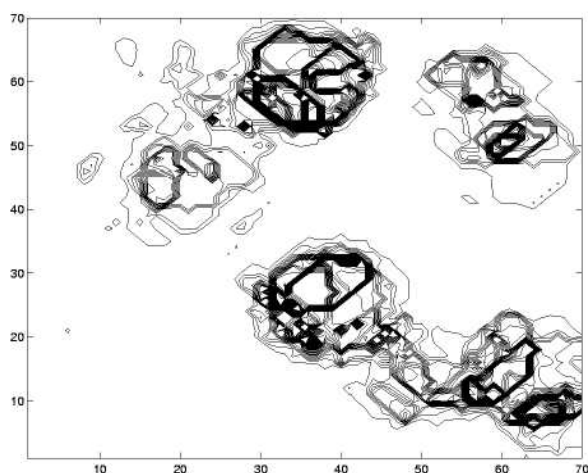


Рис. 5. Пространственное распределение населенности в фиксированный момент времени

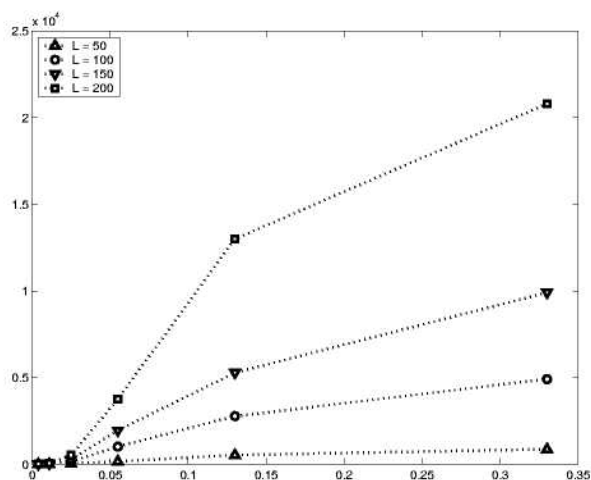


Рис. 6. Зависимость параметра локализации U от скорости распада β при различных значениях линейного масштаба модельной решетки L

ственной локализации обусловлен фрактальностью пространственно-временных цепочек из пятен размножающегося вещества.

СПИСОК ЛИТЕРАТУРЫ

1. Васильев В.А., Романовский Ю.М., Яхно В.Г. Автоволновые процессы. М.: Наука, 1987.
2. Шредер М. Фракталы, хаос, степенные законы. М.: Научно-издательский центр "Регулярная и хаотическая динамика", 2001.
3. Bak P. How Nature Works (The Science of Self-organized Criticality). Oxford: Univ. Press, 1997.
4. Jensen H.J. Self-Organized Criticality. Cambridge: Univ. Press, 1998.
5. Михайлов А.С., Упоров И.В. Критические явления в средах с размножением, распадом и диффузией // УФН. 1984. Т. 144(1).
6. Лоскутов А.Ю., Михайлов А.С. Введение в синергетику. М.: Наука, 1990.
7. Трубецков Д.И. След вдохновений и трудов упорных. Саратов: Изд-во Гос. УНЦ "Колледж", 2001.
8. Трахтенгерц В.Ю., Иудин Д.И., Григорьев А.Н. О фрактальной динамике активных сред // Нелинейные волны, 2002 / Нижний Новгород: ИПФ РАН, 2003.
9. Иудин Д.И., Трахтенгерц В.Ю. Динамическая перколяция в активных средах // Нелинейные волны, 2004 / Нижний Новгород: ИПФ РАН, 2005.
10. Иудин Д.И. Динамическая перколяция в системах со случайным ростом // Труды научной конференции по радиофизике. Нижний Новгород: ННГУ, 2004.
11. Иудин Д.И. Эффекты направленной перколяции в сети клеточных автоматов // Труды научной конференции по радиофизике. Нижний Новгород: ННГУ, 2004.
12. Iudin D.I., Trakhtengerts V.Y. Percolation dynamics in active systems // Proceeding of the International Conference "Frontiers of Nonlinear Physics 2004". Nizhny Novgorod; St. Peterburg, 2004.

EFFECTS OF DIRECTIONAL PERCOLATION IN ECOLOGICAL SYSTEMS WITH CASUAL REPRODUCTION AND DISSOCIATION

© 2005 D.I. Iudin

Nizhniy Novgorod State University

The mathematical modeling of directional percolation in process of colonization of area are considered.